

I-32 補剛された中空円形断面柱の座屈に関する一つの考察

名古屋工業大学 正員 ○松浦 聖  
 名古屋工業大学大学院 学生員 片山陽夫

まえがき 補剛円筒殻に一樣な外圧が作用する場合の研究には、造船分野での多くの文献が参考となる。いま周方向あるいは軸方向に補剛材を取り付けて補強された円筒殻が、軸方向の圧縮力  $P$  と側面からの等変分布をなす外圧を受ける場合の弾性危険荷重の考察に、座屈様式としては補剛材も含めて殻全体が圧壊する場合を考え、端部拘束は、ここでは両端固定としている。解析はエネルギー法を用い、補剛材については、その曲げ剛性・ひずみ剛性を殻のそれに加えて、直交異方性として扱っている。補剛材が周方向にあるいは軸方向に取り付けられても座屈基本式の誘導はほとんど同じであるので、ここでは周方向に補強された場合のみを示しておくこととする。

変形および応力の基本式 殻の中央面上に  $\xi, \eta, \zeta$  軸を図-1 のようにとり、点  $(\xi, \eta, 0)$  の変位を  $(u, v, w)$  とすると、点  $(\xi, \eta, \zeta)$  の変位は、

$$\left. \begin{aligned} (u - \zeta \frac{\partial w}{\partial \xi}, v + (\frac{v}{R} - \frac{\partial w}{\partial \eta}), w) \dots \dots (1) \end{aligned} \right\} \text{となり、その点のひずみは、}$$

$$\left. \begin{aligned} \varepsilon_{\xi} = \bar{\varepsilon}_{\xi} + \kappa_{\xi} \zeta + \frac{1}{2} (\frac{\partial w}{\partial \xi})^2, \quad \varepsilon_{\eta} = \bar{\varepsilon}_{\eta} + (\kappa_{\eta} - \frac{\bar{\varepsilon}_{\eta}}{R}) (\zeta - \frac{\zeta}{R}) + \frac{1}{2} (\frac{\partial w}{\partial \eta} - \frac{v}{R})^2 \\ \gamma = \bar{\gamma} + \omega \zeta + \frac{\partial w}{\partial \xi} (\frac{\partial w}{\partial \eta} - \frac{v}{R}), \quad \kappa_{\xi} = -\frac{\partial^2 w}{\partial \xi^2}, \quad \kappa_{\eta} = -\frac{\partial^2 w}{\partial \eta^2} - \frac{w}{R^2}, \quad \omega = -\frac{\partial^2 w}{\partial \xi \partial \eta} \end{aligned} \right\} \dots (2)$$

ただし  $\bar{\varepsilon}_{\xi} = \frac{\partial u}{\partial \xi}$ ,  $\bar{\varepsilon}_{\eta} = \frac{\partial v}{\partial \eta} + \frac{w}{R}$ ,  $\bar{\gamma} = \frac{\partial v}{\partial \xi} + \frac{\partial u}{\partial \eta}$

となる。なお  $\kappa_{\xi}, \kappa_{\eta}$  は中央面の  $\xi, \eta$  方向の曲率の変化、 $\omega$  は回転を表す。

円筒殻の曲げ理論による応力に、補剛材に生ずる応力を、その間隔  $l$  で除したものを加え ( $l$  に関連した有効中の問題は考えない)、 $u, v, w$  に関して 1 次の項のみをとると、

$$\left. \begin{aligned} N_{\xi} = \alpha_1 \bar{\varepsilon}_{\xi} + \nu \alpha_1 \bar{\varepsilon}_{\eta}, \quad N_{\eta} = \nu \alpha_1 \bar{\varepsilon}_{\xi} + \alpha_2 \bar{\varepsilon}_{\eta} + B \kappa_{\eta}, \quad N_{\xi\eta} = \frac{1-\nu}{2} \alpha_1 \bar{\gamma} \\ M_{\xi} = D_1 \kappa_{\xi} + \nu D_1 \kappa_{\eta}, \quad M_{\eta} = \nu D_1 \kappa_{\xi} + D^* \kappa_{\eta} + B \bar{\varepsilon}_{\eta}, \quad M_{\xi\eta} = (1-\nu) D_1 \omega \end{aligned} \right\} \dots (3)$$

ただし、 $\alpha_1 = \frac{E t}{1-\nu^2}$ ,  $\alpha_2 = \alpha_1 + \frac{EA}{l} (1-\frac{c}{R})$ ,  $D_1 = \frac{E t^3}{12(1-\nu^2)}$ ,  $D^* = D_1 + \frac{EI}{l}$ ,  $B = \frac{EAC}{l} - \frac{EI}{Rl}$

座屈基本式の誘導 (1) ポテンシャルエネルギー さて、いま考えている補強円筒殻が図-2 のように荷重を受けて基本応力状態にあるとき、中央面に附加変形  $(u, v, w)$  を与えると、系のポテンシャルエネルギーが変化するが、その変化のうち附加変位について 1 次の項は仮想仕事の原理から零となり、座屈限度にあるときは、2 次の項がポテンシャルエネルギー極小の原理から零となる。

したがって、このポテンシャルエネルギーの変化量のうち、変位についての 2 次の項だけを  $\Pi$  とし、さらにそのうち、ひずみエネルギーによるものを  $\Pi_1$ 、基本応力によるものを  $\Pi_2$ 、外力によるものを  $\Pi_3$  とすると、 $\Pi = \Pi_1 + \Pi_2 + \Pi_3 = 0 \dots \dots (4)$  となる。

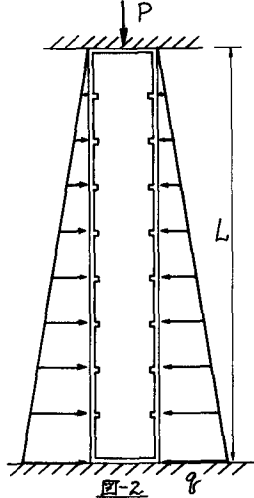
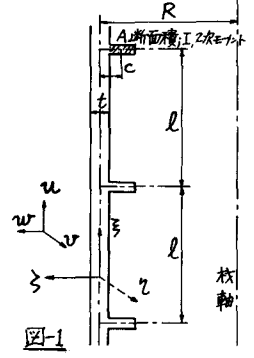
ひずみエネルギー  $\Pi_1$  は、一般に中央面単位面積あたり

$$U = \frac{1}{2} (N_{\xi} \varepsilon_{\xi} + N_{\eta} \varepsilon_{\eta} + N_{\xi\eta} \gamma + M_{\xi} \kappa_{\xi} + M_{\eta} \kappa_{\eta} + 2 M_{\xi\eta} \omega) \dots \dots (5)$$

と表わせる。ここで補剛材を考慮した周方向の曲げに対する中央面 ( $\zeta = \zeta_0$ ) 上のひずみを  $\varepsilon_{\xi}^*$ ,  $\kappa_{\xi}^*$  とすると、 $\zeta_0$  は一般に小さいから、

$$\varepsilon_{\xi}^* = [\varepsilon_{\xi}]_{\zeta=\zeta_0} = \bar{\varepsilon}_{\xi}, \quad \kappa_{\xi}^* = [\kappa_{\xi}]_{\zeta=\zeta_0} = \kappa_{\xi} \dots \dots (6)$$

となり、式(5)は式(6)を用いて、ひずみエネルギーとして変位に関する 2 次の項だけをとると、 $U = \frac{1}{2} (\alpha_1 \bar{\varepsilon}_{\xi}^2 + \alpha_2 \bar{\varepsilon}_{\eta}^2 + 2 \nu \alpha_1 \bar{\varepsilon}_{\xi} \bar{\varepsilon}_{\eta} + \frac{1-\nu}{2} \alpha_1 \bar{\gamma}^2 + D_1 \kappa_{\xi}^2 + D_2 \kappa_{\eta}^2 + 2 \nu D_1 \kappa_{\xi} \kappa_{\eta} + 2(1-\nu) D_1 \omega^2) \dots (7)$



と書ける。ただし  $D_2 = D^* - \frac{B^2}{\alpha_2}$  ところで要素  $d\bar{x} \times d\bar{y}$  に働く力のつり合いから、

$$\frac{\partial N_3}{\partial \bar{x}} + \frac{\partial N_{3y}}{\partial \bar{y}} = 0, \quad \frac{\partial N_{3x}}{\partial \bar{x}} + \frac{\partial N_3}{\partial \bar{y}} = 0 \quad \dots\dots (8) \quad \text{となるが、ここでエアリーの応力関数 } F \text{ を用いて、}$$

$$N_3 = \frac{\partial^2 F}{\partial \bar{x}^2}, \quad N_{3y} = \frac{\partial^2 F}{\partial \bar{x} \partial \bar{y}}, \quad N_{3x} = -\frac{\partial^2 F}{\partial \bar{x} \partial \bar{y}} \quad \dots\dots (9) \quad \text{とおくと、これは式(8)を満たす。式(2),(3),(6)より、}$$

$$N_3 = \alpha_1 \bar{E}_3 + \nu \alpha_1 \bar{E}_3^*, \quad N_{3y} = \nu \alpha_1 \bar{E}_3 + \alpha_2 \bar{E}_3^*, \quad N_{3x} = \frac{1-\nu}{2} \alpha_1 \bar{\gamma}, \quad \bar{E}_3 = \frac{\partial u}{\partial \bar{x}}, \quad \bar{E}_3^* = \bar{E}_3 + \frac{\partial v}{\partial \bar{x}} + \frac{w}{R}, \quad \bar{\gamma} = \frac{\partial v}{\partial \bar{x}} - \frac{\partial u}{\partial \bar{y}} \quad \dots\dots (10)$$

となる。この式(10)で  $\bar{E}_3, \bar{E}_3^*, \bar{\gamma}$  を  $N_3, N_{3y}, N_{3x}$  で表わし、さらに  $u, v$  を消去して式(9)を用いると、

$$\alpha_1 \left( \frac{\alpha_2}{\alpha_1} - \nu^2 \right) \frac{1}{R} \frac{\partial^2 w}{\partial \bar{x}^2} = \left[ \frac{\partial^4}{\partial \bar{x}^4} + \left( \frac{\alpha_2}{\alpha_1} - \nu \right) \frac{2}{1-\nu} \frac{\partial^4}{\partial \bar{x}^2 \partial \bar{y}^2} + \frac{\alpha_2}{\alpha_1} \frac{\partial^4}{\partial \bar{y}^4} \right] F \quad \dots\dots (11) \quad \text{が得られる。よって、} w \text{ が与えられるならば、式(11)を解くことにより } F \text{ が得られ、式(9)から } N_3, N_{3y}, N_{3x} \text{ を結局 } w \text{ の関数として表わし得る。}$$

さて  $\Pi_1$  は式(7)を用いて、両端で  $w=0$  とすると、  $\Pi_1 = \iint U d\bar{x} d\bar{y} = \frac{1}{2} \iint d\bar{y} \left[ \frac{\partial F}{\partial \bar{x}} \bar{E}_3^* - F \left( \frac{\partial^2 F}{\partial \bar{x}^2} - \frac{\partial^2 \bar{\gamma}}{\partial \bar{x}^2} \right) \right] + \frac{1}{2} \iint F \frac{1}{R} \frac{\partial^2 w}{\partial \bar{x}^2} d\bar{x} d\bar{y} + \frac{1}{2} \iint \left[ D_1 \left\{ \left( \frac{\partial^2 w}{\partial \bar{x}^2} \right)^2 + 2 \left( \frac{\partial^2 w}{\partial \bar{x} \partial \bar{y}} \right)^2 - \frac{2\nu}{R^2} \left( \frac{\partial w}{\partial \bar{x}} \right)^2 \right\} + D_2 \left\{ \left( \frac{\partial w}{\partial \bar{y}} \right)^2 - \frac{2}{R^2} \left( \frac{\partial w}{\partial \bar{x}} \right)^2 + \frac{w^2}{R^2} \right\} \right] d\bar{x} d\bar{y} \quad \dots\dots (12)$

とかける。ただし式(12)が成立するためには、  $\frac{\partial F}{\partial \bar{x}} \bar{E}_3^*, F \left( \frac{\partial^2 F}{\partial \bar{x}^2} - \frac{\partial^2 \bar{\gamma}}{\partial \bar{x}^2} \right) \quad \dots\dots (13)$  が連続でなければならぬ。

次に  $\Pi_2$  は基本応力を  $N_{30}, N_{3y0}, N_{3x0}$  とすると、一般的に得られる  $\iint (N_{30} \bar{E}_3 + N_{3y0} \bar{E}_3 + N_{3x0} \bar{\gamma}) d\bar{x} d\bar{y}$  の量のうちの

変位についての2次の項の分である。いま  $N_{30} = -\frac{P}{2\pi R}, N_{3y0} = -\left(1 - \frac{\nu}{2}\right) R \bar{\gamma}, N_{3x0} = 0 \quad \dots\dots (14)$  のとき

$$\Pi_2 = -\frac{P}{4\pi R} \iint \left( \frac{\partial w}{\partial \bar{x}} \right)^2 d\bar{x} d\bar{y} - \frac{R}{2} \iint \left( 1 - \frac{\nu}{2} \right) \left( \frac{\partial w}{\partial \bar{x}} - \frac{v}{R} \right)^2 d\bar{x} d\bar{y} \quad \dots\dots (15) \quad \text{となる。また } \Pi_3 \text{ は次式(16)となる。}$$

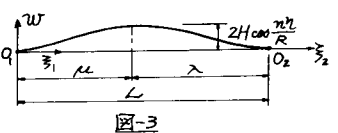
$$\Pi_3 = R \iint \left( 1 - \frac{\nu}{2} \right) \left[ \frac{1}{2} w \left( \frac{\partial u}{\partial \bar{x}} + \frac{\partial v}{\partial \bar{x}} + \frac{w}{R} \right) - \frac{1}{2} u \frac{\partial w}{\partial \bar{x}} - \frac{1}{2} v \left( \frac{\partial w}{\partial \bar{x}} - \frac{v}{R} \right) \right] d\bar{x} d\bar{y} \quad \dots\dots (16) \quad \text{また式(15),(16)を加えて、両端で } w=0 \text{ であり、また } \frac{\partial u}{\partial \bar{x}} \text{ と } \frac{v}{R} \text{ は } \frac{w}{R} \text{ に比べて小さいとして計算すると、結局}$$

$$\Pi_2 + \Pi_3 = -\frac{P}{4\pi R} \iint \left( \frac{\partial w}{\partial \bar{x}} \right)^2 d\bar{x} d\bar{y} - R \iint \left( 1 - \frac{\nu}{2} \right) \left[ \frac{R}{2} \left( \frac{\partial w}{\partial \bar{x}} \right)^2 - \frac{1}{2} \frac{w^2}{R} \right] d\bar{x} d\bar{y} \quad \dots\dots (17) \quad \text{とかける。}$$

(2) 座屈基本式の算定 以上で式(12)および式(17)で  $\Pi$  を  $w$  で表わすことができたので、いま本論における補強円筒殻の座屈波形を次のように仮定する。

$$w = H \left( 1 - \cos \frac{\pi \bar{x}}{\mu} \right) \cos \frac{\pi \bar{y}}{R}, \quad 0 < \bar{x} < \mu; \quad w = H \left( 1 - \cos \frac{\pi \bar{x}}{\lambda} \right) \cos \frac{\pi \bar{y}}{R}, \quad -\lambda < \bar{x} < 0 \quad \dots\dots (18)$$

これは両端で  $w=0, \frac{\partial w}{\partial \bar{x}}=0 \quad \dots\dots (19)$  を満たす。式(18)で与えられた  $w$  は、



パラメータ  $\mu, \pi$  をもつが、 $\mu$  は横荷重(水圧)の影響による  $w_{max}$  の位置を示し、 $\pi$  は周方向の波数を示す。

式(18)を式(11)に代入して(13)式の連続条件を用いると、

$$F = \frac{\alpha_2 - \nu \alpha_1}{R} H \left( \frac{\pi}{\mu} \right)^2 \cos \frac{\pi \bar{x}}{\mu} \cos \frac{\pi \bar{y}}{R} / A \left( \frac{\pi}{\mu} \right) + H \left( C_0 \cosh \omega_0 \bar{x}_1 + C_1 \cosh \omega_1 \bar{x}_1 \right) \cos \frac{\pi \bar{y}}{R}, \quad 0 < \bar{x} < \mu$$

$$F = \frac{\alpha_2 - \nu \alpha_1}{R} H \left( \frac{\pi}{\lambda} \right)^2 \cos \frac{\pi \bar{x}}{\lambda} \cos \frac{\pi \bar{y}}{R} / A \left( \frac{\pi}{\lambda} \right) + H \left( C_2 \cosh \omega_0 \bar{x}_2 + C_3 \cosh \omega_1 \bar{x}_2 \right) \cos \frac{\pi \bar{y}}{R}, \quad -\lambda < \bar{x} < 0$$

$$\text{ただし } A \left( \frac{\pi}{\mu} \right) = \left( \frac{\pi}{\mu} \right)^4 + \left( \frac{\alpha_2}{\alpha_1} - \nu \right) \frac{2}{1-\nu} \left( \frac{\pi}{R} \right)^2 + \frac{\alpha_2}{\alpha_1} \left( \frac{\pi}{R} \right)^4, \quad C_0 = \frac{a \sinh \omega_0 \lambda}{\sinh \omega_0 L}, \quad C_1 = \frac{b \sinh \omega_1 \lambda}{\sinh \omega_1 L}, \quad C_2 = \frac{a \sinh \omega_0 \mu}{\sinh \omega_0 L}, \quad C_3 = -\frac{b \sinh \omega_1 \mu}{\sinh \omega_1 L} \quad \dots\dots (20)$$

$$a = \frac{\alpha_2 - \nu \alpha_1}{R} \frac{\omega_1}{\omega_1^2 - \omega_0^2} \left[ \frac{\omega_1 \left( \frac{\pi}{\mu} \right)^2 + \left( \frac{\pi}{\mu} \right)^4 / \omega_0}{A \left( \frac{\pi}{\mu} \right)} - \frac{\omega_1 \left( \frac{\pi}{\lambda} \right)^2 + \left( \frac{\pi}{\lambda} \right)^4 / \omega_0}{A \left( \frac{\pi}{\lambda} \right)} \right], \quad b = \frac{\alpha_2 - \nu \alpha_1}{R} \frac{\omega_0}{\omega_1^2 - \omega_0^2} \left[ -\frac{\omega_0 \left( \frac{\pi}{\mu} \right)^2 + \left( \frac{\pi}{\mu} \right)^4 / \omega_0}{A \left( \frac{\pi}{\mu} \right)} + \frac{\omega_0 \left( \frac{\pi}{\lambda} \right)^2 + \left( \frac{\pi}{\lambda} \right)^4 / \omega_0}{A \left( \frac{\pi}{\lambda} \right)} \right]$$

となる。この  $F$  と  $w$  を用いて、結局式(4)から危険荷重算定式は  $\bar{\sigma}$  を一定とし、 $P$  による圧壊を考えると、

$$P(\mu, \pi) = \left[ \frac{\pi}{\mu} + \frac{\pi}{\lambda} \right]^2 \times \left[ 2\pi R D_1 \left\{ \left( \frac{\pi}{\mu} \right)^3 + \left( \frac{\pi}{\lambda} \right)^3 + \frac{2}{R^2} (\pi^2 - \nu) \left( \frac{\pi}{\mu} + \frac{\pi}{\lambda} \right) \right\} + 6D_2 L \frac{(\pi^2 - \nu)^2}{R^3} + \frac{2}{R} (\alpha_2 - \nu \alpha_1) \nu^2 \left\{ \frac{(\pi/\mu)^3}{A(\pi/\mu)} + \frac{(\pi/\lambda)^3}{A(\pi/\lambda)} \right\} - 4 \left( \frac{\pi}{\mu} \right)^2 \left\{ C_0 \frac{\omega_0}{\omega_0^2 + (\pi/\mu)^2} \sinh \omega_0 \mu + C_1 \frac{\omega_1}{\omega_1^2 + (\pi/\mu)^2} \sinh \omega_1 \mu \right\} - 4 \left( \frac{\pi}{\lambda} \right)^2 \left\{ C_2 \frac{\omega_0}{\omega_0^2 + (\pi/\lambda)^2} \sinh \omega_0 \lambda + C_3 \frac{\omega_1}{\omega_1^2 + (\pi/\lambda)^2} \sinh \omega_1 \lambda \right\} - 8(\pi^2 - 1) \{ 6L - (\mu - \lambda)(3 + 16/\pi^2) \} \right] \quad \dots\dots (21) \quad \text{となる。したがって座屈荷重 } P_{cr} \text{ は}$$

$$P_{cr} = \min_{\mu, \pi} P(\mu, \pi) \quad \dots\dots (22) \quad \text{と与えられる。}$$

数値計算  $R=100 \text{ cm}, L=20 \text{ m}, t=1.2 \text{ cm}$  とし、補剛材  $2 \times 2 \text{ cm} = 4 \text{ cm}$  なるものを周方向に  $1^{\text{m}}, 2^{\text{m}}$  の間隔に補強した場合および補剛材なしの場合につき  $P_{cr} \text{ (ton)}$  は、7600, 5700, 3700 と求められた。

参考文献 り山本善之; 補強円筒殻の外圧による全体的圧壊の研究, 造船協会論文集, 才113号